



Raport

z badań poziomu natężenia pola elektrycznego
w otoczeniu stacji bazowej:

SWI3203

na podstawie sprawozdania P4/207/2024 udostępnionego przez A-CONNECT Anna Garwol-Porosa

Laboratorium prowadzące badania

A-CONNECT Anna Garwol-Porosa
Strażacka 3/2
58-370 Boguszów-Gorce
692 692 875

Zleceniodawca badań

P4 Sp. z o.o.
Wynalazek 1
02-677 Warszawa
790 500 500
kontakt@play.pl

Nr akredytacji: AB 1284

Data wydania sprawozdania: 08.07.2024

Raport zawiera wybrane elementy sprawozdania i służy wyłącznie obrazowemu przedstawieniu informacji o danej instalacji. Raport nie może być wykorzystywany w postępowaniach administracyjnych.

Informacje ogólne

Zgodność z metodyką RMK: Tak

Wykorzystanie w obszarze regulowanym: Tak

Przedmiot badań

| Identyfikator stacji w UKE | SWI3203 |
|----------------------------|------------------------|
| Operator | P4 Sp. z o.o. |
| Współrzędne | 16,5795500; 50,9663805 |
| Rodzaj pracy | ciągła |
| Rodzaj wytwarzanego pola | stacjonarne |

Miejsce badań

Otoczenie stacji bazowej SWI3203 w lokalizacji Imbramowice, dz. nr. 320/4.

Cel badań

1. Zweryfikowanie zgodności z wymaganiami rozporządzenia Ministra Zdrowia z dnia 19 grudnia 2019 r.

Opis stacji bazowych

Tabela 1: Opis anten badanych stacji bazowych

| Lp. | Identyfikator stacji w UKE | Typ Producent anteny | Azymut | H | EIRP | Pasmo | Tilt | Tilt w trakcie pomiarów |
|-----|----------------------------|-------------------------|--------|-------|--------|---------------------------------|--|-------------------------|
| | | | [°] | [m] | [W] | [MHz] | [°] | [°] |
| 1 | SWI3203 | ADU4518R8v06 Huawei | 30 | 52,50 | 14198* | LTE 800 LTE 1800 LTE 2100 | 0,0 - 10,0 2,0 - 12,0 2,0 - 12,0 | 5,0 5,0 5,0 |
| 2 | | ADU4518R8v06 Huawei | 30 | 52,50 | 14198* | LTE 1800 LTE 2100 LTE 800 | 2,0 - 12,0 2,0 - 12,0 0,0 - 10,0 | 5,0 5,0 5,0 |
| 3 | | A794517R0 Huawei | 30 | 52,50 | 4242* | UMTS 900 | 0,0 - 10,0 | 5,0 |
| 4 | | ADU4518R8v06 Huawei | 170 | 52,50 | 14198* | LTE 2100 LTE 800 LTE 1800 | 2,0 - 12,0 0,0 - 10,0 2,0 - 12,0 | 7,0 7,0 7,0 |
| 5 | | ADU4518R8v06 Huawei | 170 | 52,50 | 14198* | LTE 800 LTE 1800 LTE 2100 | 0,0 - 10,0 2,0 - 12,0 2,0 - 12,0 | 7,0 7,0 7,0 |
| 6 | | A794517R0 Huawei | 170 | 52,50 | 4242* | UMTS 900 | 0,0 - 10,0 | 7,0 |
| 7 | | ADU4518R8v06 Huawei | 270 | 52,50 | 14198* | LTE 800 LTE 1800 LTE 2100 | 0,0 - 10,0 2,0 - 12,0 2,0 - 12,0 | 5,0 5,0 5,0 |
| 8 | | ADU4518R8v06 Huawei | 270 | 52,50 | 14198* | LTE 800 LTE 2100 LTE 1800 | 0,0 - 10,0 2,0 - 12,0 2,0 - 12,0 | 5,0 5,0 5,0 |
| 9 | | A794517R0 Huawei | 270 | 52,50 | 4242* | UMTS 900 | 0,0 - 10,0 | 5,0 |

* moc EIRP łączna dla wszystkich częstotliwości anteny

Warunki pomiarów

Pomiary w wyznaczonych punktach wykonano w następujących warunkach:

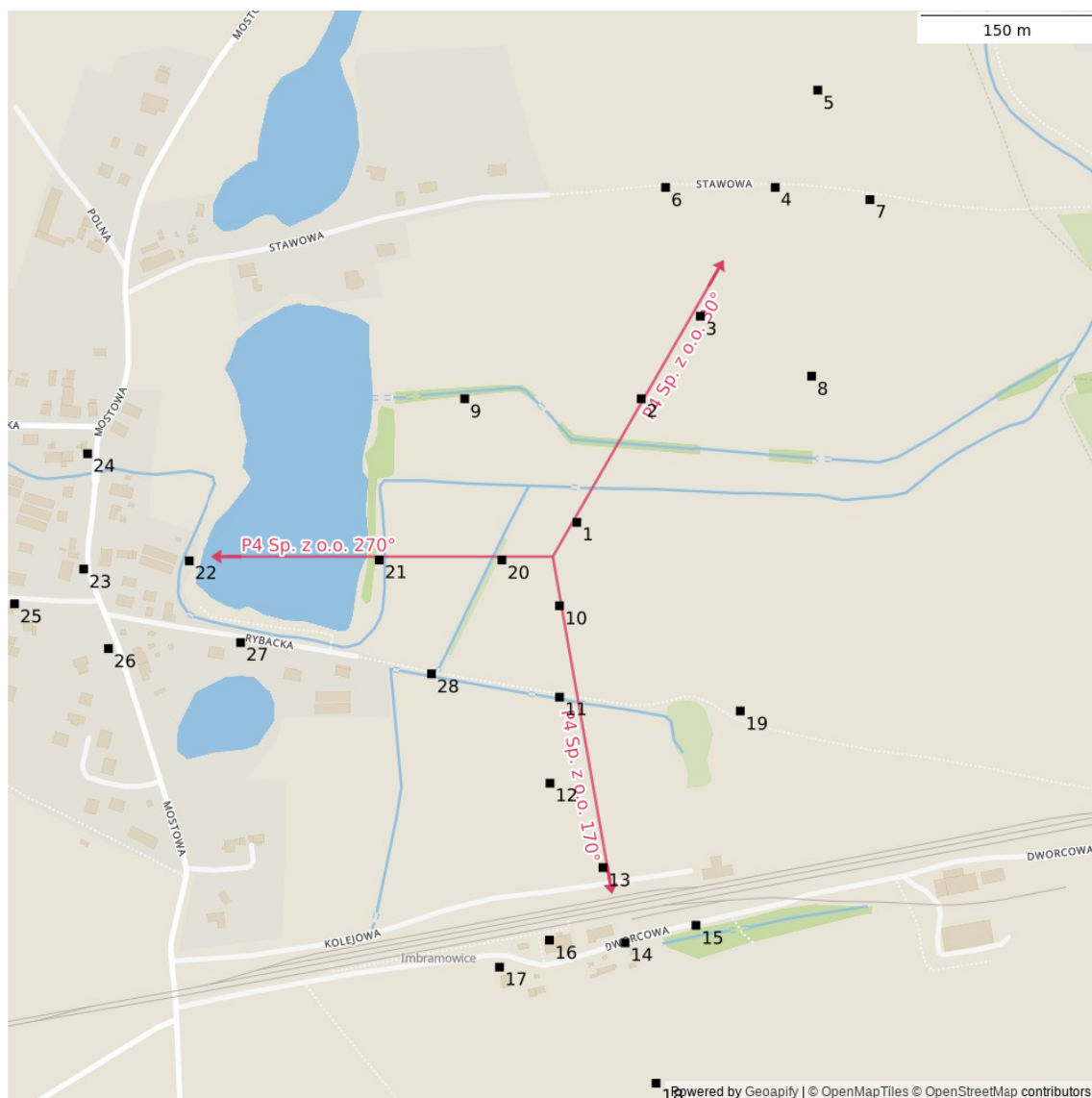
| 05.07.2024 15:00-16:30 | | | |
|------------------------|------------------|----------------|-------|
| Warunki środowiskowe | Temperatura [°C] | Wilgotność [%] | Opady |
| Minimalna | 21,5 | 47,6 | brak |
| Maksymalna | 21,9 | 48,9 | |

Aparatura

Tabela 2: Aparatura

| MIERNIKI I SONDY | | | | | |
|------------------|----------------|---------|-----------|---|--|
| Lp. | Typ / Nazwa | Model | Producent | Próg detekcji | Świadectwo wzorcowania |
| 1a | miernik | NBM-520 | Narda | | LWiMP/W/075/24 z dn. 07.03.2024 wydane przez LWiMP Politechniki Wrocławskiej |
| 1b | sonda | EF6091 | Narda | 0,50 | |
| POZOSTAŁE | | | | | |
| Lp. | Typ / Nazwa | Model | Producent | Świadectwo wzorcowania | |
| 2 | termohigrometr | P330 | DOSTMANN | 47102/2016 z dn. 28.11.2016 wydane przez LAB-EL ELEKTRONIKA LABORATORYJNA ANDRZEJ ŁOBZOWSKI, MARIA ŁOBZOWSKA SP. J. | |

Lokalizacje pionów pomiarowych



Rysunek 1: Plan terenu

Wyniki pomiarów szerokopasmowych

Tabela 3: Zestawienie lokalizacji pionów pomiarowych oraz wyników pomiarów natężenia pola elektrycznego, pomiary szerokopasmowe

| Nazwa | Data | Współrzędne geograficzne | E | WM _E | H | WM _H |
|-------|------------|--------------------------|-------------------|-----------------|-------------------|-----------------|
| | | [°] | [$\frac{V}{m}$] | | [$\frac{A}{m}$] | |
| 1 | 05.07.2024 | 16,5798470 50,9666470 | 1,60 | 0,057 | 0,004 | 0,058 |
| 2 | 05.07.2024 | 16,5806410 50,9676070 | 1,31 | 0,047 | 0,003 | 0,048 |
| 3 | 05.07.2024 | 16,5813710 50,9682490 | 1,18 | 0,042 | 0,003 | 0,043 |

Ciąg dalszy na następnej stronie

Tabela 3: Zestawienie lokalizacji pionów pomiarowych oraz wyników pomiarów natężenia pola elektrycznego, pomiary szerokopasmowe (c.d.)

| Nazwa | Data | Współrzędne geograficzne | E | WM _E | H | WM _H |
|-------|------------|--------------------------|-------------------|-----------------|-------------------|-----------------|
| | | [°] | [$\frac{V}{m}$] | | [$\frac{A}{m}$] | |
| 4 | 05.07.2024 | 16,5822940 50,9692490 | 2,32 | 0,083 | 0,006 | 0,084 |
| 5 | 05.07.2024 | 16,5828190 50,9700050 | 1,89 | 0,068 | 0,005 | 0,069 |
| 6 | 05.07.2024 | 16,5809420 50,9692490 | 1,74 | 0,062 | 0,005 | 0,063 |
| 7 | 05.07.2024 | 16,5834630 50,9691540 | 1,60 | 0,057 | 0,004 | 0,058 |
| 8 | 05.07.2024 | 16,5827440 50,9677830 | 1,31 | 0,047 | 0,003 | 0,048 |
| 9 | 05.07.2024 | 16,5784630 50,9676070 | 1,45 | 0,052 | 0,004 | 0,053 |
| 10 | 05.07.2024 | 16,5796330 50,9659990 | 1,74 | 0,062 | 0,005 | 0,063 |
| 11 | 05.07.2024 | 16,5796330 50,9652890 | 2,03 | 0,073 | 0,005 | 0,074 |
| 12 | 05.07.2024 | 16,5795150 50,9646200 | 1,60 | 0,057 | 0,004 | 0,058 |
| 13 | 05.07.2024 | 16,5801690 50,9639650 | 1,45 | 0,052 | 0,004 | 0,053 |
| 14 | 05.07.2024 | 16,5804430 50,9633800 | 2,32 | 0,083 | 0,006 | 0,084 |
| 15 | 05.07.2024 | 16,5813170 50,9635160 | 2,03 | 0,073 | 0,005 | 0,074 |
| 16 | 05.07.2024 | 16,5795090 50,9634010 | 1,45 | 0,052 | 0,004 | 0,053 |
| 17 | 05.07.2024 | 16,5788930 50,9631910 | 1,74 | 0,062 | 0,005 | 0,063 |
| 18 | 05.07.2024 | 16,5808240 50,9622890 | 2,18 | 0,078 | 0,006 | 0,079 |
| 19 | 05.07.2024 | 16,5818640 50,9651810 | 2,03 | 0,073 | 0,005 | 0,074 |
| 20 | 05.07.2024 | 16,5789220 50,9663540 | 2,18 | 0,078 | 0,006 | 0,079 |
| 21 | 05.07.2024 | 16,5774090 50,9663540 | 1,74 | 0,062 | 0,005 | 0,063 |
| 22 | 05.07.2024 | 16,5750650 50,9663480 | 1,45 | 0,052 | 0,004 | 0,053 |
| 23 | 05.07.2024 | 16,5737610 50,9662840 | 1,89 | 0,068 | 0,005 | 0,069 |
| 24 | 05.07.2024 | 16,5738100 50,9671800 | 2,18 | 0,078 | 0,006 | 0,079 |

Ciąg dalszy na następnej stronie

Tabela 3: Zestawienie lokalizacji pionów pomiarowych oraz wyników pomiarów natężenia pola elektrycznego, pomiary szerokopasmowe (c.d.)

| Nazwa | Data | Współrzędne geograficzne | E | WM _E | H | WM _H |
|-------|------------|--------------------------|-------------------|-----------------|-------------------|-----------------|
| | | [°] | [$\frac{V}{m}$] | | [$\frac{A}{m}$] | |
| 25 | 05.07.2024 | 16,5729080 50,9660140 | 2,03 | 0,073 | 0,005 | 0,074 |
| 26 | 05.07.2024 | 16,5740670 50,9656660 | 1,74 | 0,062 | 0,005 | 0,063 |
| 27 | 05.07.2024 | 16,5756980 50,9657130 | 1,74 | 0,062 | 0,005 | 0,063 |
| 28 | 05.07.2024 | 16,5780530 50,9654700 | 1,89 | 0,068 | 0,005 | 0,069 |

Podsumowanie

Na podstawie wyników pomiarów pola elektromagnetycznego przedstawionych w niniejszym raporcie o nr P4/207/2024 opracowanym przez A-CONNECT Anna Garwol-Porosa stwierdza się, że w otoczeniu stacji bazowej SWI3203 dopuszczalne poziomy pól elektromagnetycznych w środowisku, określone w przepisach wydanych na podstawie art. 122 ust. 1 ustawy z dnia 27 kwietnia 2001 r. – Prawo ochrony środowiska uznaje się za **dotrzymane**. Udokumentowano, że w żadnym pionie pomiarowym wartości wskaźnikowe WM_E oraz WM_H nie przekroczyły 1.

Osoby odpowiedzialne

Wykonanie pomiarów: b.d.

Opracowanie sprawozdania: b.d.

Autoryzacja sprawozdania: Łukasz Porosa (Kierownik ds. jakości)